

## ПРИРОДА И ПОИСКОВОЕ ЗНАЧЕНИЕ УЛЬТРАКАЛИЕВЫХ РИОЛИТОВ НА ПРИМЕРЕ ЭПИТЕРМАЛЬНЫХ ЗОЛОТО-СЕРЕБРЯНЫХ МЕСТОРОЖДЕНИЙ ДАЛЬНЕГО ВОСТОКА

Л.Ф. Мишин

Институт тектоники и геофизики им. Ю.А. Косыгина ДВО РАН, г. Хабаровск

На примере золото-серебряных месторождений показано, что ультракалиевые породы, известные в литературе под названием ультракалиевых риолитов, образуются на ранней предрудной стадии метасоматических преобразований пород под воздействием гидротермальных растворов. Эти преобразования происходят путем ионного обмена натрия на калий с образованием псевдоморфоз адуляра по микролитам и кристаллитам полевых шпатов. Ультракалиевые породы на золото-серебряных месторождениях образуют ореол, надстраивающий гидротермально-метасоматическую зональность вверх и вширь от рудных залежей, и, таким образом, являются важным признаком при поисках рудных месторождений, в первую очередь при прогнозировании не выходящего на поверхность оруденения.

**Ключевые слова:** ультракалиевые риолиты, золото-серебряные месторождения, гидротермалиты, кварц-адуляровые породы, псевдоморфозы, Дальний Восток.

### ВВЕДЕНИЕ

Вулканические породы кислого состава в окраинно-континентальных вулканических поясах характеризуются относительно выдержаным соотношением щелочей, суммарное содержание  $\text{Na}_2\text{O}$  и  $\text{K}_2\text{O}$  в них обычно находится в пределах 7–10 %, а соотношение их близко к единице. Вместе с тем, среди вулканических пород нередко встречаются существенно калиевые разновидности без следов наложенной адуляризации и с обликом свежих пород, в литературе данные породы получили название – ультракалиевые риолиты.

Ультракалиевые риолиты описаны в разных регионах России и за рубежом [2–4, 6, 13, 15–19].

Большинство исследователей, вслед за Боузеном, полагают, что ультракалиевые породы возникли магматическим путем.

Отдельные исследователи проблему ультракалиевых риолитов сводят к проблеме вулканических стекол, испытавших в разной степени гидратацию и характеризующихся за счет ионного обмена натрия и калия значительными вариациями щелочей [13, 15].

Поскольку ультракалиевые риолиты внешне не отличаются от пород с ненарушенным соотношением щелочей, то откартировать и выяснить их структурное положение оказалось очень сложно. По этим причинам природа ультракалиевых риолитов, их

структурное положение и металлогеническая роль остаются во многом дискуссионными.

Автор попытался эту проблему решить на примере ультракалиевых пород эпимеральных золото-серебряных месторождений, широко представленных в окраинно-континентальных вулканических поясах Востока Азии.

Химический анализ петрогенных элементов и масс-спектрометрия с индуктивно связанный плазмой редких и редкоземельных элементов произведены в лаборатории ИТиГ ДВО РАН; аналитики: Авдеев Д.В., Боковенко Л.С., Зазулина В.Е., Ильина Н.И. Рентгено-фазовый анализ произведен на дифрактометре DРОН7 в ИМ ХНЦ ДВО РАН, аналитик Печин С.А.

### УЛЬТРАКАЛИЕВЫЕ ПОРОДЫ КУПОЛА “КРАСИВЫЙ”

Купол “Красивый” расположен в Ульинском прогибе на левобережье верхнего течения р. Амка (рис. 1). Он сложен контрастно переслаивающимися позднемеловыми вулканическими породами кислого и основного состава и многочисленными субинтрузивами. В пределах купола выделено четыре толщи [8, 10]. Из них три толщи простираются далеко за пределы купола, а породы четвертой толщи, сложенной трахидацитами, их туфами, и комагматичные им многочисленные субинтрузивы распространены ло-

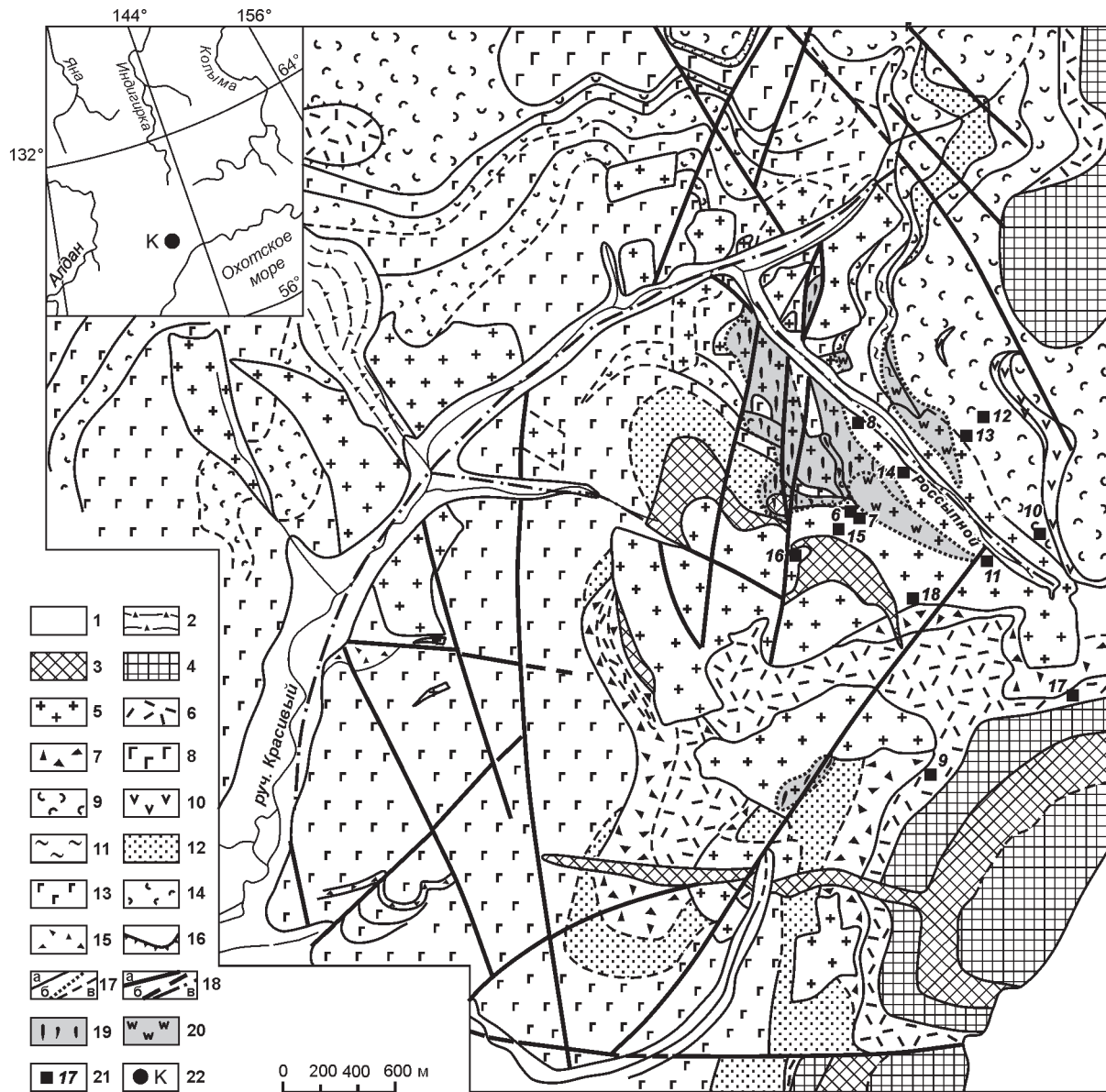


Рис. 1. Геологическая карта купола Красивый.

1–2 – современные аллювиальные (1) и оползневые (2) отложения; 3 – дайки и силлы трахибазальтов хакаринского комплекса (Р), 4–15 – амкинская серия ( $K_2$ ): 4 – толща (IV) коингнимбритовых туфов трахидацитов с прослойками литокластических туфов смешанного состава, 5 – субвулканические трахидациты, 6–7 – толща (III): 6 – трахидациты пористые и пемзовидные, 7 – разнозернистые туфы трахидацитов; 8–12 – толща (II): 8 – афировые базалты, 9 – коингнимбритовые туфы трахидацитов, 10 – плагиофирировые андезибазалты, 11 – пепловые слоистые туфы, 12 – слоистые туфы трахидацитов с горизонтами туфогенно-осадочных пород; 13–15 – толща (I): 13 – афировые базалты, 14 – коингнимбритовые туфы трахидацитов, 15 – разнозернистые туфы кислого состава; 16 – экструзивные фации; 17 – геологические границы установленные (а) и предполагаемые (б); 18 – разломы установленные (а), предполагаемые (б) и предполагаемые под рыхлыми отложениями (в); 19 – кварц-адуляровые и кварц-гидрослюдисто-адуляровые метасоматиты с наложенным кварцевым штокверком; 20 – вторичные кварциты; 21 – положение проб ультракалиевых трахидацитов, номера соответствуют табл. 3; 22 – положение месторождения Красивый на обзорной карте.

кально в пределах купола и представляют реликт трахидацитовой постройки центрального типа.

Породы в разной степени подвержены гидротермальным изменениям. Выделены площадные и локальные изменения. Площадные, обычно слабые,

изменения имеют региональное распространение и представлены хлорит-карбонатной и цеолитовой фациями [8]. Локальные гидротермалиты отличаются минералогическим составом и высокой степенью преобразования первичных пород.

Основное поле локальных гидротермалитов с кварцевым штокверком, несущим золото-серебряную минерализацию, приурочено к северо-западному крылу купола. Благодаря значительной расчлененности рельефа и глубокому бурению, гидротермалиты здесь изучены на глубину более 500 м [8]. В гидротермальной системе хорошо выражена вертикальная зональность, выделяются (снизу вверх): гидрослюдисто-кварцевая, гидрослюдисто-адуляр-кварцевая и адуляр-кварцевая зоны; надрудную зону образует пластовая залежь вторичных кварцитов, представленных каолинитовой, монокварцевой и, в ограниченном объеме, диккит-алунитовой фациями. В южном направлении метасоматиты погружаются в склон и экранируются покровом пористых пемзовидных трахидацитов. Последние в основании покрова слегка осветлены, в них участками отмечаются гнезда цеолитов и иногда монтмориллонит.

Трахидациты из разных толщ и суббулканические трахидациты петрографически очень близки друг другу. Вкрашенники образованы олигоклазом и биотитом и составляют около 10 % объема породы. Основная масса в них микролитовая с элементами трахитоидности, иногда переходная к микропойкилитовой. Состав микролитов оптическими методами из-за их малых размеров определить не удается, но, судя по химическим анализам (за вычетом вкрашенников), это калинатровый полевой шпат, близкий по составу к анортоклазу. Игнимбриты и широко распространенные коигнимбритовые туфы по составу вкрашенников и химическому составу также близки лавам трахидацитов.

При химическом анализе проб трахидацитов, которые отбирались из внешне свежих пород, в части из них было установлено высокое содержание  $K_2O$  при почти полном отсутствии  $Na_2O$ . Дополнительный отбор и анализ проб на щелочи подтвердил широкое распространение ультракалиевых пород. Аномальные пробы трахидацитов сосредоточены в обрамлении поля рудоносных метасоматитов, главным образом в нижней части экранирующего покрова трахидацитов, а также на флангах рудоносной зоны. На южном крыле купола, там, где намечается подэкраниное продолжение рудоносной зоны, также выявлены ультракалиевые породы.

Откартировать без специальной методики и определить непрерывность распространения ультракалиевых пород не удалось, однако по пространственному распределению аномальных проб можно заключить, что ультракалиевые породы образуют подобие прерывистого мозаичного шлейфа над рудоносными метасоматитами.

Важно отметить, что ультракалиевые трахидациты встречаются среди покровов разного стратиграфического положения, а также среди суббулканических образований. Преимущественно это лавы и субинтрузивные трахидациты. Имеются аномальные пробы и среди игнимбритов (табл. 1).

Ультракалиевые трахидациты по петрографическим признакам не отличаются от трахидацитов с ненарушенным соотношением щелочей. Вкрашенники олигоклаза и биотита иногда участками замещаются монтмориллонитом и гидрослюдами, но в основном они остаются свежими. Основная масса также сохраняет свою первично микролитовую структуру.

От пород с ненарушенным соотношением щелочей ультракалиевые трахидациты отличаются резким преобладанием  $K_2O$  над  $N_2O$ , при этом сумма щелочей в ультракалиевых породах сохраняется такой же, как и в трахидацитах (табл. 1). Среднее содержание  $Na_2O$  в кварц-адуляровых рудоносных метасоматитах составляет 0,3 %. В ультракалиевых трахидацитах за счет того, что вкрашенники плагиоклаза не подвергнуты вторичным изменениям, содержание  $Na_2O$  находится в пределах 1–2 %, и лишь в пробах 356-2 и 377, в которых наблюдается частичное замещение вкрашенников плагиоклаза адularом, оно снижается до 0,46 и 0,69, соответственно.

С калием положительно коррелируются содержания Rb и Cs (максимальные в ультракалиевых трахидацитах и в кварц-адуляровых метасоматитах), а отрицательно – содержания Sr (рис. 2). Показательно распределение РЗЭ, содержания которых, как известно, наименее подвержены наложенным процессам. Спектры нормированных содержаний РЗЭ в ультракалиевых трахидацитах и в кварц-адуляровых метасоматитах полностью повторяют спектры трахидацитов, не затронутых гидротермальными изменениями (рис. 2).

## УЛЬТРАКАЛИЕВЫЕ ПОРОДЫ МЕСТОРОЖДЕНИЯ БЕЛАЯ ГОРА

Золото-серебряное месторождение Белая Гора расположено на левобережье нижнего течения р. Амур в пределах Нижнеамурской вулканической зоны. Район сложен палеогеновыми вулканическими и суббулканическими породами контрастного базальт-трахидацитового состава. Трахидациты и их туфы колчанской свиты и комагматичные им субинтрузивы имеют локальное распространение в центральной части купола и постепенно выклиниваются к его периферии. Трахидациты имеют порфировую структуру, вкрашенники в них составляют 5–15 % и

**Таблица 1. Химический состав трахидацитов неизмененных и подверженных калиевому метасоматозу (купол Красивый).**

	416	427-1	469	324	156	сред.(5)	216	028	043	344	351	355-2	356	356-2	360	377	346-1	347	153	195	198
	1	2	3	4	5	6	7	8	9	10	11	12	13	14	15	16	17	18	19	20	21
SiO <sub>2</sub>	73.14	72.13	74.04	70.22	71.94	72.29	70.55	71.92	74.71	69.17	70.61	-	-	-	-	-	-	-	83.05	75.76	76.30
TiO <sub>2</sub>	0.24	0.25	0.20	0.21	0.25	0.23	0.31	0.21	0.21	0.23	0.25	-	-	-	-	-	-	-	0.12	0.21	0.36
Al <sub>2</sub> O <sub>3</sub>	13.84	14.64	13.34	14.36	14.28	14.09	14.28	13.26	11.87	14.3	13.00	-	-	-	-	-	-	-	7.86	12.25	12.04
Fe <sub>2</sub> O <sub>3</sub>	1.05	1.98	1.17	1.54	1.78	1.50	1.61	0.85	0.98	1.52	1.52	-	-	-	-	-	-	-	0.38	0.51	0.14
FeO	0.43	0.19	0.63	0.40	0.26	0.38	0.32	0.26	0.23	0.52	0.46	-	-	-	-	-	-	-	0.26	0.23	0.24
MnO	0.02	0.03	0.04	0.04	0.03	0.03	0.03	0.01	0.01	0.03	0.02	-	-	-	-	-	-	-	0.1	0.03	0.02
MgO	0.48	0.40	0.40	0.52	1.00	0.56	0.42	0.31	0.16	0.21	0.31	-	-	-	-	-	-	-	0.23	0.57	0.49
CaO	1.03	0.62	0.96	1.02	0.22	0.77	0.29	0.29	0.15	0.87	0.29	-	-	-	-	-	-	-	0.25	0.51	0.44
Na <sub>2</sub> O	3.58	3.23	3.33	4.12	3.13	3.48	2.09	0.29	0.45	2.18	1.01	1.22	3.36	0.46	0.99	0.69	1.49	1.16	0.22	0.28	0.39
K <sub>2</sub> O	5.06	5.00	4.77	5.06	4.95	4.97	8.23	10.12	10.11	8.03	10.1	8.62	6.07	7.30	7.48	9.49	6.81	7.21	5.41	6.84	5.66
P <sub>2</sub> O <sub>5</sub>	0.04	0.02	0.03	0.04	0.05	0.04	0.07	0.06	0.02	0.02	0.03	-	-	-	-	-	-	-	0.01	0.03	0.06
H <sub>2</sub> O	0.62	1.32	0.91	1.12	1.27	1.05	1.06	1.59	1.27	1.33	1.19	-	-	-	-	-	-	-	0.93	1.80	2.30
ппп	0.54	1.1	0.83	1.14	1.22	0.97	1.75	2.37	1.69	1.30	1.02	-	-	-	-	-	-	-	1.02	2.05	2.68
Σ	99.53	99.81	99.42	98.52	99.16	99.31	100.10	99.72	101.45	98.69	99.39	-	-	-	-	-	-	-	98.72	99.13	98.71

Примечание. 1–6 – трахидациты неизмененные (6 – средний состав); 7–18 – ультракалиевые трахидациты; 19–21 – адуляр-кварцевые метасоматиты. Трахидациты субвулканические (1–3, 5, 7–14, 18–21), покровные (4), игнимбриты трахидацитов (15–17).

представлены олигоклазом и отдельными зернами низкожелезистого биотита. Основная масса имеет флюидальную микролитовую структуру, иногда с переходами к микропойкилитовой. Субвулканические трахидациты по петрографическому составу и структурой аналогичны покровным трахидацитам.

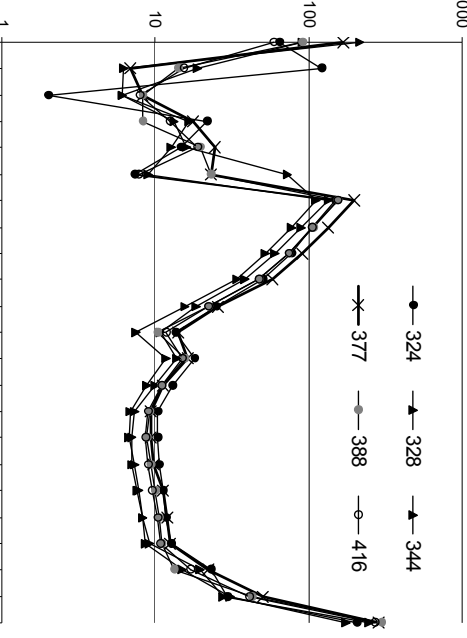
Наряду с флюидальными структурами в центральных зонах субинтрузива иногда появляются массивные разновидности с сериально-гломерофировыми структурами.

Гидротермально-рудная система Белогорского рудного поля в структурном и фациальном отношении во многом сходна с месторождением Красивый [9, 10]. Метасоматиты здесь пространственно совмещены с крупным субинтрузивом трахидацитов и частично развиваются по вмешающим субинтрузив трахидацитам и туфам колчанской свиты. Основной объем (до глубины 300–370 м) образуют гидрослюдисто-кварцевые метасоматиты. На восточном фланге рудного поля рудноносные метасоматиты бронируются пластовой залежью вторичных кварцитов (надрудная зона), представленных диккит-каолинитовой и, менее, монокварцевой фациями.

По материалам разведочных работ (В.А. Решетко, 1996 г.), адуляровая фация в отдельных слу-

циях нормирована по хондриту [20] концентраций редких и редкоземельных элементов в трахидацитах с ненарушенным соотношением шелочей, ультракалиевых разностей и кварц-адуляровых метасоматитов (месторождение Красивый).

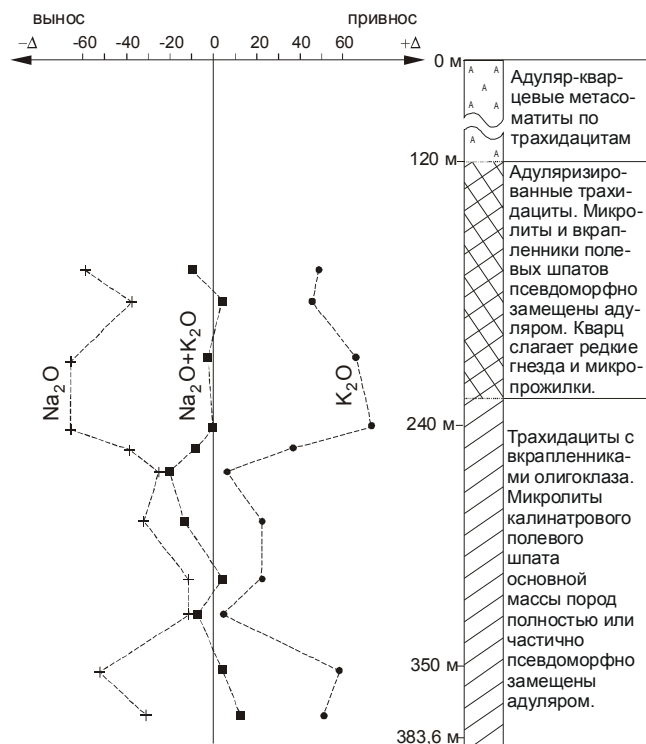
324, 388, 416 – трахидациты, не затронутые гидротермальными изменениями; 377 – ультракалиевый трахидацит; 328, 344 – адуляр-кварцевые предрудные метасоматиты.



**Таблица 2. Химический состав трахидацитов неизмененных и подверженных калиевому метасоматозу (месторождение Белая Гора).**

№ п.п.	Номер проб	SiO <sub>2</sub>	TiO <sub>2</sub>	Al <sub>2</sub> O <sub>3</sub>	Fe <sub>2</sub> O <sub>3</sub>	FeO	MnO	MgO	CaO	Na <sub>2</sub> O	K <sub>2</sub> O	P <sub>2</sub> O <sub>5</sub>	H <sub>2</sub> O <sup>-</sup>	ппп	Σ
1	1054-7	68.69	0.38	16.19	1.55	0.28	0.01	1.10	0.83	3.80	4.30	0.05	0.22	2.17	99.82
2	1060	68.45	0.49	14.94	1.32	1.02	0.08	1.50	1.41	4.26	5.51	0.06	0.12	1.37	100.53
3	1061	67.42	0.48	13.78	2.21	0.45	0.04	1.18	1.37	5.50	4.20	0.15	3.93	0.35	101.06
4	1058	65.26	0.44	17.58	3.75	0.28	0.05	1.54	1.65	4.0	4.07	0.08	0.19	0.50	99.40
5	Среднее(4)	67.46	0.45	15.62	2.21	0.51	0.05	1.33	1.32	4.39	4.52	0.09	1.12	1.10	100.20
6	191 <sup>A</sup> /170	-	-	-	-	-	-	-	0.64	8.80	-	-	-	9.44	
7	191 <sup>A</sup> /185	-	-	-	-	-	-	-	2.02	8.64	-	-	-	10.66	
8	191 <sup>A</sup> /210	-	-	-	-	-	-	-	0.30	10.36	-	-	-	10.66	
9	191 <sup>A</sup> /240	-	-	-	-	-	-	-	0.21	10.86	-	-	-	11.07	
10	191 <sup>A</sup> /250	-	-	-	-	-	-	-	1.76	7.42	-	-	-	9.18	
11	191 <sup>A</sup> /260	-	-	-	-	-	-	-	2.56	4.75	-	-	-	7.31	
12	191 <sup>A</sup> /286	-	-	-	-	-	-	-	2.25	6.35	-	-	-	8.60	
13	191 <sup>A</sup> /310	-	-	-	-	-	-	-	3.44	6.44	-	-	-	9.88	
14	191 <sup>A</sup> /325	-	-	-	-	-	-	-	3.49	4.54	-	-	-	8.03	
15	191 <sup>A</sup> /350	-	-	-	-	-	-	-	1.85	7.99	-	-	-	9.84	
16	191 <sup>A</sup> /370	-	-	-	-	-	-	-	2.22	9.00	-	-	-	11.22	
17	Среднее(11)														9.63

Примечание. 1–5 – трахидациты неизмененные (5 – средний состав); 6–16 – субвулканические трахидациты скв. 191<sup>A</sup>, (цифра под чертой – глубина отбора пробы): 6–8 – трахидациты с псевдоморфозами адуляра по вкрапленникам олигоклаза и микролитам калинатрового полевого шпата основной массы; 9–16 – трахидациты с неизмененными вкрапленниками олигоклаза и псевдоморфозами адуляра по микролитам калинатрового полевого шпата основной массы (ультракалиевые трахидациты).



**Рис. 3.** Привнос–вынос K<sub>2</sub>O и Na<sub>2</sub>O по отношению к неизмененным породам (скв. 191<sup>A</sup>, месторождение Белая Гора).

Δ = содержание элемента (молекулярные количества) в метасоматите минус среднее содержание его в неизмененных породах (см. табл. 2).

чаях, минуя серицитовую зону, сменяется неизмененными породами. Крупные останцы таких “неизмененных” пород были установлены в центральной и приподошвенной частях субинтрузива. Нами был проанализирован керн одной из глубоких скважин, пробуренной в центре субинтрузива трахидацитов (рис. 3). Метасоматиты с хорошо индивидуализированными зернами адуляра и гидрослюдами прослеживаются здесь от поверхности до глубины 120 метров. Далее (до 240 м) они сменяются внешне свежими трахидацитами с микролитовой или пойкилитоподобной основной массой, в которой наложененный адуляр и гидрослюд отсутствуют, но вкрапленники олигоклаза замещены адуляром (гомоосевые и агрегатные псевдоморфозы). В интервале 240–383,6 м трахидациты внешне свежие, с хорошо сохранившимися вкрапленниками олигоклаза, с флюидальными и массивными текстурами

Породы, сохранившие текстурно-структурные признаки первичных трахидацитов, начиная с глубины 179 метров были проанализированы на содержания Na<sub>2</sub>O и K<sub>2</sub>O. Оказалось, что все изученные породы обогащены K<sub>2</sub>O, но содержания щелочных оксидов сильно варьируют и обусловливают вариации трахидацитов от почти чисто калиевых до калинатровых. Отдельные пробы по содержанию щелочей приближаются к среднему составу неизмененных трахидацитов (табл. 2). Характерно, что вынос Na<sub>2</sub>O

**Таблица 3. Состав микролитов и вкрапленников КПШ в неизмененных породах и в ультракалиевых трахидацитах.**

	1061	191 <sup>A</sup> /350	191 <sup>A</sup> /240	среднее (10)	среднее (9)
	1	2	3	4	5
SiO <sub>2</sub>	68.57	62.71	64.71	65.44	67.71
TiO <sub>2</sub>	0.24	-	-	0.30	0.02
Al <sub>2</sub> O <sub>3</sub>	15.00	21.11	18.12	18.82	18.78
FeO	0.87	0.30	0.30	0.04	0.15
CaO	0.77	-	-	0.53	0.16
Na <sub>2</sub> O	5.34	-	-	3.40	1.63
K <sub>2</sub> O	4.59	14.95	16.64	11.37	14.37
Σ	95.38	99.07	99.77	99.90	102.82
Or %	62	100	100	74.23	84.05
Ab	36	-	-	22.00	15.14
An	2	-	-	3.47	0.71

*Примечание.* 1–3 – состав микролитов в трахидацитах, месторождение Белая Гора: 1 – неизмененные трахидациты; 2–3 – ультракалиевые трахидациты. 4–5 – средние составы КПШ в вулканических породах Охотско-Чукотского пояса (4, [7]) и гранитоидах Дальнегорского района (5, [1]). Микрозондовые анализы выполнены в ИГГД РАН на растровом сканирующем электронном микроскопе АВТ-55 с энергодисперсионной системой LINK AN-100/S85, аналитики Толкачев М.Д. и Павлов М.Р.

компенсируется привносом K<sub>2</sub>O, еще большая согласованность распределения этих оксидов проявляется при анализе пересчитанных процентных содержаний оксидов на молекулярные количества. На рисунке 3 (привнос–вынос относительно к среднему содержанию щелочей неизмененных трахидацитов) графики ΔNa<sub>2</sub>O и K<sub>2</sub>O имеют практически зеркальный вид, вариации суммарной щелочности при этом крайне незначительны, и фигуративные точки суммарной щелочности группируются около линии среднего содержания щелочей неизменных пород. Такая форма графиков сохраняется и для метасоматически измененных трахидацитов с наложенной адуляризацией.

Судя по результатам микрозондового анализа, микролиты полевого шпата в основной массе неизмененных трахидацитов (на удалении от штокверка) имеют калинатровый состав, а в ультракалиевых трахидацитах – калиевый состав (табл. 3). Исходя из этих данных можно предположить, что большинство блоков, показанных на буровых профилях как неизмененные породы, представлены преимущественно ультракалиевыми трахидацитами, имеющими, с одной стороны, переходы к трахидацитам с ненарушенным соотношением щелочей, а с другой стороны – к метасоматически измененным породам с наложенной адуляризацией.

## ОБСУЖДЕНИЕ РЕЗУЛЬТАТОВ

С точки зрения физико-химической петрологии объяснить возникновение чисто калиевых породмагматическим путем весьма затруднительно. Для снятия возникающих противоречий предполагались различные особые условия кристаллизационной дифференциации, ликвация, перенос калия газовой фазой и др. Д. Стюарт [15] и В.С. Попов [13], проанализировав различные способы образования ультракалиевых пород из магмы, показали, что ни один из вышерассмотренных процессов не решает проблему образования ультракалиевых риолитов. Д. Стюарт, основываясь на результатах изотопных исследований воды в стеклах [21] и изучения ионообменных свойств обсидианов [24], установил прямую зависимость содержаний K<sub>2</sub>O от содержания воды. Он пришел к выводу, что значительные объемы ультракалиевых пород могли образоваться путем ионного обмена натрия на калий при гидратации стекол. Основываясь, главным образом, на геохимических особенностях ультракалиевых риолитов, В.С. Попов [13] также пришел к заключению, что аномальное обогащение некоторых пород калием происходит при гидратации стекол.

Наш опыт изучения химического состава стекол подтверждает, что в гидратированных разновидностях стекол действительно отмечается существенное перераспределение щелочей, однако оно не ведет к значительному увеличению содержания калия, стекла с содержанием K<sub>2</sub>O>6 % практически не встречаются. Более того, как показано в [22], при глубоко зашедшей гидратации начинается, наоборот, вынос калия.

П.В. Липман выдвинул предположение, что интенсивный ионный обмен Na<sub>2</sub>O на K<sub>2</sub>O происходит в процессе девитрификации стекол. Такое обогащение пород K<sub>2</sub>O (до 8 %) он связывал с обменом щелочей в полевошпатовой части пород. С подобным заключением трудно согласиться. В древних толщах, как правило, все кислые вулканиты девитрифицированы, однако ультракалиевые риолиты среди них – большая редкость.

Д. Стюарт рассматривал нарушение баланса щелочей при гидратации стекол метеорными водами. В.В. Наседкин [11] на примере некоторых месторождений вулканических стекол на Северо-Востоке России показал, что нарушение баланса щелочей происходит на локальных участках, примыкающих к зонам гидротермальных изменений. На таких участках наблюдается увеличение содержания H<sub>2</sub>O, снижение суммы щелочей за счет Na<sub>2</sub>O.

В Ульинском прогибе, в верховьях р. Нет, были обнаружены ультракалиевые, слегка осветленные

перлиты, содержащие  $K_2O$  около 8 %, а  $Na_2O$  – 0,33 %. В не затронутых изменениями трахидацитах и обсидианах при равном содержании щелочей их сумма составляла также 8 % [6]. В таких осветленных перлитах наблюдались переходы от темного изотропного стекла к стеклу осветленному, в котором проявляются элементы криптокристаллического строения, и далее – к кварц-адуляровому агрегату. Примечательно, что осветление стекла и адюляризация концентрируются вдоль перлитовых трещин. В данном случае адюляризацию можно интерпретировать как продвинутый ионный обмен под воздействием гидротермальных растворов, ведущий в конечном итоге к образованию адюляра.

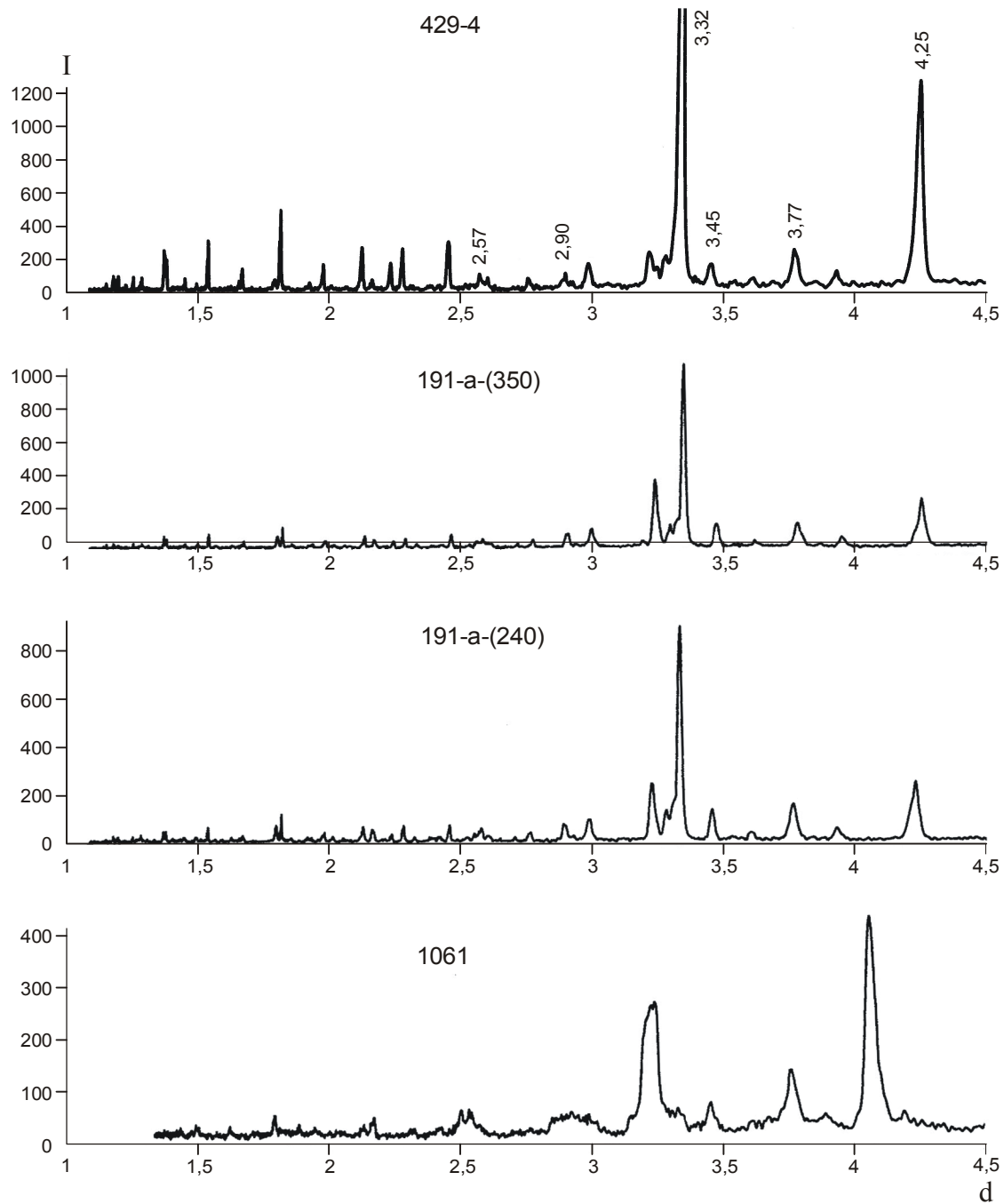
Однако заметим, что вулканические стекла с аномальным соотношением щелочей – это лишь экзотическое проявление ультракалиевых пород. Значительно чаще подобные образования встречаются среди вулканических и субвулканических пород с первично магматической микрокристаллической основной массой, для преобразования которых гидратация, как таковая, вообще не может быть применена.

Обозначим наиболее важные особенности распределения и состава ультракалиевых пород: а) на примере месторождений Красивый и Белая Гора видно, что породы с аномальным содержанием калия образуют своеобразный ореол вокруг гидротермально-рудной зоны; б) ультракалиевые породы встречаются на разных стратиграфических уровнях; в) ультракалиевые породы и породы с нормальным соотношением щелочей сочетаются в одном потоке, в одном субинтрузиве; г) ультракалиевые породы встречаются среди лав, игнимбритов, туфов и субвулканических образований; д) по составу это могут быть риолиты, дациты, имеются описания ультракалиевых андезитов [14]; е) главная особенность петрохимического состава ультракалиевых пород заключается в том, что аномальность их проявляется лишь в соотношении калия, натрия и редких щелочей. Соотношения других породообразующих окислов не выходят за допустимые рамки конкретных петротипов. Важно подчеркнуть, что по соотношению щелочей породы образуют непрерывный спектр, но сумма щелочей остается практически неизменной и соответствует таковой в породах нормального ряда.

Судя по имеющимся в литературе описаниям, перечисленные признаки присущи ультракалиевым породам независимо от их возраста и формационной принадлежности. Показательно в этом плане распределение редких элементов и, в первую очередь, РЗЭ, которые, в силу своих особенностей, наиболее устойчивы к наложенным гидротермальным изменениям.

Нижеприведенные материалы и опубликованные данные [12, 13] свидетельствуют, что пространственно сопряженные породы нормального ряда и ультракалиевые характеризуются одинаковым распределением РЗЭ и других малых элементов. С вариациями  $K_2O$  и  $Na_2O$  коррелируется лишь содержание редких щелочей.

В магматических породах КПШ представляют собой твердые растворы альбита и ортоклаза с незначительной примесью анортитового минала, при этом с ростом температуры в КПШ увеличивается содержание натрия. Например, средний состав вкрапленников КПШ в вулканических породах мелового возраста на юге Дальнего Востока (табл. 3) составляет –  $Or_{59}Ab_{38}An_3$  [7], в гипабиссальных гранитах Приморья –  $Or_{84}Ab_{15,14}An_{0,71}$  [1]. Чисто калиевые полевые шпаты характерны лишь для метасоматических пород. По пересчетам химического состава трахидацитов на месторождениях Красивый и Белая Гора микролиты в основной массе пород представлены КПШ, близким к анортоклазам с высоким содержанием альбитового минала. Эти расчеты подтверждаются микрозондовым анализом микролитов в трахидатах месторождения Белая Гора (табл. 3). В ультракалиевых дацитах по результатам микрозондового анализа микролиты при неизменной морфологии представлены чисто калиевым полевым шпатом. Ионный обмен в результате расстеклования здесь не может рассматриваться, так как структура основной массы пород и форма микролитов неизмененных и ультракалиевых трахидацитов одинаковые. Следовательно, можем предположить, что в ультракалиевых породах произошло псевдоморфное замещение микролитов калинатрового полевого шпата на адюляр. Для проверки был проведен рентгеноструктурный анализ основной массы заведомо свежих и ультракалиевых трахидацитов. Данные рентгенометрических измерений подтвердили результаты микрозондового анализа – в неизмененных трахидатах микролиты имеют калинатровый состав, а в ультракалиевых разностях – чисто калиевый (рис. 4). Изменились также структурные характеристики – главные линии на рентгенограммах микролитов трахидацитов, которые приняты как не затронутые вторичными изменениями, отвечают ортоклазу. Дифрактограммы проб монофракций основной массы ультракалиевых трахидацитов близки друг другу, и дифрактограмме эталонной пробы кварц-адулярового метасоматита, и значительно отличаются от дифрактограммы свежего трахидата, наличие главных линий (4.23; 3.32; 3.22; 2.56) позволяет диагностировать их как адюляр [5].



**Рис. 4.** Дифрактограммы основной массы трахидацитов, месторождение Белая Гора.

429-4 – эталонная проба кварц-адулярового метасоматита; 1061 – трахиадазит, не затронутый вторичными изменениями; 191<sup>A</sup> (240, 350) – ультракалиевые трахидациты, в скобках – глубина отбора проб.

Для понимания природы ультракалиевых пород важно проследить соотношение их с гидротермально измененными породами, включающими наложенную адуляризацию. На месторождениях эпiterмального типа формирование гидротермально-метасоматических образований кварц-адулярового типа происходит многостадийно. На месторождении Красивый наибо-

лее четко выделяются три стадии. Кварц-адуляровые метасоматиты ранней стадии – это белые, фарфоровидного облика породы, в которых полностью сохранились первичная флюидальная текстура и порфиро-вая структура с псевдоморфозами адуляра, иногда совместно с гидрослюдами, по вкрапленникам плагиоклаза и КПШ. Выделения адуляра в таких метасома-

тиках меняются от субмикроскопических кристаллитов к хорошо индивидуализированным кристаллам с ромбовидными сечениями, размер которых достигает десятых долей миллиметра. Эти породы отличают равномерность распределения и относительная выдержанность размеров зерен адуляра и кварца. Химизм их характеризуется значительным привносом калия, кремнезема и почти полным выносом натрия, глинозема и трехвалентного железа [8].

Предрудные калиевые гидротермалиты второй стадии развиваются по метасоматитам первой стадии в виде ветвящихся зон и гнездообразных выделений. Там, где они начинают преобладать, порода приобретает облик метабрекции. Состав гидротермалитов второй стадии – адуляр-кварцевый, кварц резко преобладает. Адуляр тонкокристаллический, но хорошо ограненный, распределен неравномерно. Кварц тонкозернистый, насыщенный пелитоморфными включениями и фрагментами адуляризированных пород ранней стадии и адуляризированных вкрапленников полевых шпатов.

Третья стадия (рудная) – секущие прожилки, реже гнезда с резкими границами. Кварц и адуляр прожилков более крупнозернистые, чем в предрудных гидротермалитах, зерна их хорошо индивидуализированы и лишены пелитоморфных включений. Преобладает кварц, адуляр имеет подчиненное значение. Более мощные прожилки (сантиметр и более) часто сложены колломорфно-полосчатым кварцем, иногда с полосами адуляра или с каймой из разрозненных, хорошо ограненных зерен адуляра.

В целом можно отметить, что от ранней фазы к последней происходит закономерное увеличение содержания кварца, увеличивается размер и степень индивидуализации зерен кварца и адуляра и одновременно происходит сокращение объемов гидротермалитов.

Пространственное распределение ультракалиевых трахидацитов, их состав и структурные особенности указывают на их тесную связь с наложенной адуляризацией первой стадии метасоматоза, предшествующей рудной минерализации. В качестве связующих выступают породы, в которых при сохранении структурных особенностей первичных пород произошло образование гомоосевых и агрегатных псевдоморф адуляра по вкрапленникам плагиоклаза.

Намечается следующая, наиболее часто проявляющаяся направленность преобразования первичных пород на ранней предрудной стадии (от внешних к внутренним зонам гидротермальной системы): 1) образование за счет ионного обмена  $\text{Na}_2\text{O}$  на  $\text{K}_2\text{O}$  псевдоморф адуляра по микролитам полевых шпа-

тов (вкрапленники полевых шпатов на этом этапе остаются свежими – формирование ультракалиевых пород; 2) образование псевдоморф адуляра как по микролитам, так и по вкрапленникам полевых шпатов, при наличии в эдукте вкрапленников калинатрового полевого шпата последний также замещается водяно-прозрачным адуляром, обычно с характерными внутренними структурами типа песочных часов; 3) образование хорошо индивидуализированных выделений адуляра по основной массе пород.

## ЗАКЛЮЧЕНИЕ

Вулканические породы с аномально высоким содержанием  $\text{K}_2\text{O}$ , известные в литературе как ультракалиевые риолиты, встречаются в окраинно-континентальных вулканических поясах среди пород различного фациального и химического состава. Они ассоциируют, с одной стороны, с породами с ненарушенным соотношением щелочей, а с другой стороны – с метасоматически измененными образованиями. Ультракалиевые породы отличаются невыдержаным соотношением  $\text{K}_2\text{O}$  и  $\text{Na}_2\text{O}$ , но суммарное содержание щелочей при этом сохраняется постоянным, таким же, как и в неизмененных породах. По составу редких и редкоземельных элементов ультракалиевые породы, за исключением редких щелочей, также не отличаются от пород нормального ряда.

Образование ультракалиевых пород происходит за счет ионного обмена  $\text{Na}_2\text{O}$  на  $\text{K}_2\text{O}$  с образованием гомоосевых псевдоморф адуляра по микролитам плагиоклаза и калинатрового полевого шпата при воздействии насыщенных калием гидротермальных растворов.

Поскольку за счет ультракалиевых пород расширяется видимый фронт гидротермальных околоврудных изменений, эти породы могут играть важное значение при поисках полезных ископаемых, особенно важна их роль при поисках не выходящего на поверхность золото-серебряного оруденения эпигермантильного типа.

## ЛИТЕРАТУРА

1. Валуй Г.А. Полевые шпаты и условия кристаллизации гранитоидов (Прибрежная зона Приморья). М.: Наука, 1979. 147 с.
2. Баскина В.А. Ультракалиевые липариты Приморья // Сов. геология. 1978. № 1. С. 72–84.
3. Бурштейн Е.Ф., Кошелева И.А., Тевелев А.В. Ультракалиевый вулканит Центрального Казахстана: распределение, возраст, металлогеническое значение // Московская школа геологов в Казахстане (К 45-летию ЦКЭ геол. ф-та МГУ). М.: Изд-во Моск. ун-та, 1996. С. 94–107.
4. Иванов К.С. Ультракалиевые липаритовые порфиры на Урале // Докл. АН СССР. Т. 247, № 4. 1979. С. 908–912.

5. Костов И. Минералогия. М: Мир, 1971. 559 с.
6. Мишин Л.Ф. Породные группы и серии краевых вулканических поясов. М.: Наука, 1982. 122 с.
7. Мишин Л.Ф. Субвулканические интрузии кислого состава. М.: Наука, 1994. 207 с.
8. Мишин Л.Ф., Потоцкий Ю.П., Невстроев В.Г. Геология, зональность гидротермально измененных пород и золото-серебряная минерализация купола Красивый (Ульинский прогиб) // Тихоокеан. геология. 1998. № 4. С. 106–116.
9. Мишин Л.Ф. Гидротермально измененные породы и перспективная оценка месторождения Белая Гора // Геология и полез. ископаемые Приамурья. Хабаровск, 1999. С. 172–176.
10. Мишин Л.Ф., Бердников Н.В. Вторичные кварциты и их рудоносность. Владивосток: Дальнаука, 2003. 160 с.
11. Наседкин В.В. Кислый вулканизм и водосодержащие стекла Северо-Востока СССР. М.: Наука, 1983. 100 с.
12. Nikolaenko Ю.С. Геохимия ультракалиевых риолитов Зыряновского района (Рудный Алтай) и условия их формирования // Труды научной конференции молодых ученых ИМГРЭ, посвященной 70-летию Великого Октября. М.: ВИНИТИ, 1989. С. 66–70.
13. Попов В.С., Nikolaenko Ю.С. О происхождении ультракалиевых риолитов // Зап. ВМО. 1988. Вып. 3. С. 294–304.
14. Seki-Fuchs B. Калиевый метасоматоз и гидротермальное оруденение Карпатской рудоносной области // Метасоматизм и рудообразование. М.: Недра, 1979. С. 156–160.
15. Стюарт Дэвид Б. Образование богатых кремнеземом калиевых стекловатых пород // Эволюция изверженных пород. М.: Мир, 1983. С. 332–343.
16. Ушаков О.П. К вопросу происхождения калиевых пород эфузивного облика (калишпилитов) на примере Центрального Казахстана // Зап. ВМО. 1972. Вып. 1. С. 67–75.
17. Фромберг Э.Д. О природе ультракалиевых липаритов // Докл. АН СССР. 1980. Т. 253, № 3. С. 684–687.
18. Фромберг Э.Д. К проблеме генезиса калиевых липаритов восточной части Рудного Алтая // Бюлл. МОИП. Отд. геол. 1981. Т. 2, вып. 56. С. 78–88.
19. Bowen N. L. Evolution of the Igneous Rocks. Princeton University Press, 1928. 334 p.
20. Evensen N.M., Hamilton P.J., O'Nions R.K. Rare earth abundances in chondritic meteorites // Geochim. Cosmochim. Acta. 1978. V. 42. P. 1199–1212.
21. Fridman I., Smith R.L. The deuterium content of water in some volcanic glasses. // Geochim. Cosmochim. Acta. 15. 1958. 218–228 p.
22. Lipman P.W. Chemical comparison of glassy and crystalline volcanic rocks. U.S. Geological Survey Bull, 1201-D, 1965. P. 01–024.
23. Taylor R.E. Advances in Obsidian Glass Studies // Noyes Press, Park Ridge, N. J. 1976. 360 p.
24. Truesdell A. H. Ion-exchange constants of natural glasses by the electrode method // Am. Mineral., 1966, N 51. 110–122 p.

Поступила в редакцию 6 марта 2006 г.

Рекомендована к печати С.М. Родионов

#### *L.F. Mishin*

#### **The nature and prospecting implications for ultrapotassic rhyolites as exemplified by epithermal gold-silver deposits of the Far East**

As exemplified by gold-silver deposits it is shown that ultrapotassic rhyolites are formed at the early pre-ore stage of metasomatic transformations of rocks affected by hydrothermal solutions. These transformations imply ion exchange of sodium for potassium attended by the formation of pseudomorphosadularia replacing microlites and crystallites of feldspars. Ultrapotassic rocks at the gold-silver deposits form a halo that builds on hydrothermal metasomatic zoning upward and in breadth from the ore deposits and thus are an essential characteristic for searching for ore deposits, primarily for prediction of unexposed mineralization.

**Key words:** ultrapotassic rhyolites, gold-silver deposits, hydrothermalites, quartz-adularia rocks, pseudomorphs, Far East.